

# بررسی اثر استفاده از روبارهی مس ضایعاتی در خواص مکانیکی جدول‌های پیش ساخته‌ی بتني تولید شده با فناوری پرسی تر

محمد پیروی (کارشناس ارشد)

دانشکده‌ی مهندسی عمران، دانشگاه آزاد اسلامی قزوین

محمد صالح لباف‌زاده<sup>\*</sup> (استادیار)

استنیتو آب و اوزی، دانشگاه صنعتی شریف

روبارهی مس یکی از پسماندهای حاصل از فرایند تولید مس است که با توجه به حجم بالای تولید آن در ایران، به وفور در صنایع ماسه‌پاشی به عنوان ماده‌ی ساینده استفاده می‌شود. پس از چندین بار استفاده به دلیل گردگوش شدن، این ماده خاصیت ساینگی خود را از دست می‌دهد و بلاستفاده در طبیعت رها می‌شود. از سوی دیگر، با توجه به نزوم استفاده از مصالح ریزدانه‌ی ۳-۰ در ساخت جدول‌های بتني، هزینه‌ی تهیه‌ی آن به دلیل دشواری‌های تولید نسبت به سایر اندازه‌های ماسه بیشتر خواهد بود. در پژوهش حاضر، به منظور ارائه‌ی یک راهکار عملی برای دفع این ماده‌ی ضایعاتی، از آن به عنوان جایگزین درصدی‌های مختلف ریزدانه در جدول‌های پیش ساخته‌ی بتني تولید شده با فناوری پرسی تر استفاده شده است. نتایج حاصل از انجام آزمایش‌های مکانیکی بر روی جدول‌های تولید شده نشان می‌دهد که ضمن بهبود نسبی مشخصات مکانیکی، از نقطه‌نظر فنی و اجرایی، امکان جایگزینی این ماده‌ی ضایعاتی تا ۱۰۰٪ با ریزدانه‌ی ۳-۰ طبیعی وجود دارد.

**واژگان کلیدی:** روبارهی مس ضایعاتی، ریزدانه‌ی ۳-۰، جدول پیش ساخته‌ی بتني، فناوری پرسی تر، خواص مکانیکی.

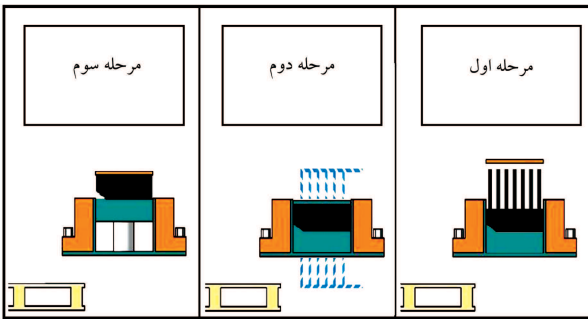
## ۱. مقدمه

امروزه با توجه به روند رو به رشد صنعتی شدن، با دو معضل جدی، ۱. برداشت بی‌رویه از ذخایر طبیعی محدود زمین، ۲. آلودگی‌ها و پسماندهای حاصل از فعالیت‌های صنعتی مواجه هستیم؛ که هر کدام در صورت عدم مدیریت صحیح می‌توانند آسیب‌های جدی به محیط زیست وارد کنند. به اصطلاح توسعه‌ی پایدار پس از گزارش منتشر شده‌ی سازمان ملل (۱۹۸۷) توجه شده و پس از بیانیه‌هایی که سازمان مذکور در کنفرانسی در سال ۱۹۹۲ و اجلاس جهانی در سال ۲۰۰۲ در ژوهانسبورگ صادر کرده است، اهمیت مضاعف یافته است. براساس تعریف سازمان ملل، اصطلاح «توسعه‌ی پایدار»، توسعه و پیشرفتی است که بتواند نیازهای زمان حال را به گونه‌یی تأمین کند که قوانین نسل‌های آینده در تأمین نیازهایشان به مخاطره نیافتد.<sup>[۱]</sup> بر این اساس، یکی از راهکارهای عملی تحقق توسعه‌ی پایدار استفاده‌ی مجدد از پسماند صنایع مختلف است. بنابراین یکی از پرمصرف‌ترین مواد در دنیاست، به طوری که در سراسر جهان سالانه به ازاء هر نفر، ۳ تن بتن مصرف

می‌شود.<sup>[۲]</sup> تخصیص سهم ۵٪ از تولید گازهای گلخانه‌یی به دلیل تولید سیمان و همچنین برداشت‌های بی‌رویه از سنگدانه‌های طبیعی به منظور استفاده در بتن سبب شده است که صنعت بتن به عنوان یکی از عوامل تهدیدکننده‌ی محیط زیست به شمار آید. لذا در دهه‌های اخیر، دست‌اندرکاران و پژوهشگران این صنعت به استفاده‌ی مجدد از ضایعات صنایع مختلف در بتن روی آورده‌اند که یکی از آنها روبارهی مس است. روبارهی مس، یک پسماند صنعتی با چگالی زیاد است که در فرایند تولید مس ایجاد می‌شود.<sup>[۳]</sup> در تولید هر تن مس تقریباً ۲۰۰۰ تن روبارهی مس به عنوان ماده‌ی ضایعاتی تولید می‌شود.<sup>[۴]</sup> این ماده از نظر علم مواد، قابلیت استفاده‌ی مجدد را ندارد و به عنوان یک ماده‌ی ضایعاتی از چرخه‌ی تولید خارج می‌شود. در گذشته برای دفع این ماده‌ی ضایعاتی مبادرت به دفن آن می‌کردند که با توجه به ترکیبات شیمیایی موجود در آن برای محیط‌زیست زیان‌بار بوده است، لذا به استفاده از روبارهی مس در صنایع دیگر توجه شده است. در ایران با توجه به وجود معادن بسیار زیاد مس و به تبع آن کارخانه‌های فرآوری آن، سالانه ۳۶۰ هزار تن از ماده‌ی ضایعاتی مذکور تولید می‌شود.<sup>[۵]</sup> حجم بالای تولید پسماند ذکر شده سبب

\* نویسنده مسئول

تاریخ: دریافت ۲۶، ۱۳۹۴/۵/۱۲، اصلاحیه ۲۲، پذیرش ۷/۲، ۱۳۹۵/۵/۱۳



شکل ۱. مراحل اصلی ساخت جدول پیش ساخته‌ی بتی به روش پرسی تر، مرحله‌ی اول: ریختن بتون بتن درون قالب (مخلوط بتی آبکی)؛ مرحله‌ی دوم: متراکم کردن بتون و خروج آب اضافی بتون؛ مرحله‌ی سوم: خارج کردن بتون از قالب و تولید جدول متراکم.<sup>[۴]</sup>



شکل ۲. قرارگیری فیلتر در قسمت پایینی قالب.



شکل ۳. ریختن بتون با اسلامپ بالا در قالب.

و استفاده از درصدهای بالاتر منجر به افزایش قابل توجه کارایی بتون شده است. همچنین مقاومت فشاری نمونه‌ها تا جایگزینی ۵۰٪ روباره‌ی مس با مصالح ریزدانه، کاهش نداشته و پس از آن، از مقاومت فشاری کاسته شده است. کمترین میزان جذب آب سطحی در نمونه‌ی با جایگزینی ۴۰٪ روباره‌ی مس اتفاق افتاده و در درصدهای بالاتر به شدت افزایش یافته است. لذا براساس نتایج آزمایش‌های مختلف، درصد بهینه‌ی جایگزینی روباره‌ی مس با ریزدانه، ۴۰٪ پیشنهاد شده است.<sup>[۵]</sup> در پژوهشی دیگر در همان سال مشاهده شده است که استفاده از روباره‌ی مس به عنوان درشت‌دانه در بتون با مقاومت بالا، خواص مکانیکی بهبود یافته است.<sup>[۶]</sup> در مطالعه‌ی دیگری (۲۰۰۹) با بررسی عملکرد بتون با مقاومت بالا و حاوی روباره‌ی

شده است که به استفاده از روباره‌ی مس در سایر صنایع از جمله صنعت رنگ به صورت ماسه‌پاشی به منظور زنگ زدایی سطوح و آماده‌سازی آن‌ها برای رنگرزی مجدد توجه شود. در فرایند ماسه‌پاشی در محیط بسته، پس از چند بار استفاده از ماده‌ی ساینده، ماده‌ی مذکور به علت گردگوش شدن، خاصیت ساینده‌ی خود را از دست می‌دهد و نمی‌تواند مجدد استفاده شود و معمولاً بدون هیچ اقدام پیش‌گیرانه‌ی در محیط زیست رها می‌شود. با توجه به استفاده‌ی گسترده از روباره‌ی مس در صنایع ماسه‌پاشی، از آنجایی که روباره‌ی مس یک ماده‌ی ضایعاتی است، پس از فرایند ماسه‌پاشی ضایعات ایجاد شده دوباره به ماده‌ی ضایعاتی دیگری تبدیل می‌شوند که به علت ریزدانه بودن و چگالی زیاد و گاه وجود عناصر سنگین در آن، تاکنون روشی برای استفاده از آن در صنایع دیگر پیدا نشده است.

براین اساس پیدا کردن یک راه حل عملی به منظور رفع مشکل محیط زیستی می‌تواند راهکشای این معضل باشد. از جمله مواردی که به نظر می‌رسد می‌توان ماده‌ی ضایعاتی مذکور را به کار برد، استفاده از آن در قطعات پیش ساخته‌ی بتون است. یکی از پرکاربردترین قطعات پیش ساخته‌ی بتون، جدول‌های بتونی هستند که از مهم‌ترین نقاط ضعف آنها، دوام پایین در برابر عوامل جوی است. جدول‌های بتونی پیش ساخته با روش‌های مختلفی از جمله روش سنتی قالب باز، روش پرسی تر و روش پرسی خشک ساخته می‌شوند. در میان روش‌های ذکر شده، روش پرسی تر به عنوان یکی از مناسب‌ترین روش‌های تولید جدول‌های بتونی پیش ساخته در جهان شناخته شده است.<sup>[۵]</sup> مراحل اصلی تولید یک جدول بتونی پیش ساخته به روش پرسی تر در شکل ۱ نشان داده شده است.<sup>[۶]</sup> در شکل‌های ۲ و ۳، تصاویری از دستگاه تولیدکننده‌ی جدول در مراحل مختلف تولید مشاهده می‌شود.

در این میان، مطالعات بسیاری بر روی جدول‌های بتونی و استفاده از مواد ضایعاتی مختلف در این قطعات انجام شده است. نتایج بررسی تأثیر نوع دانه‌بندی و بیشینه‌ی بعد سنگدانه بر نسبت آب به سیمان جدول‌های بتونی پرسی تر در سال ۲۰۱۲ نشان می‌دهد که با افزایش بیشینه‌ی اندازه‌ی سنگدانه و درشت‌تر شدن بافت دانه‌بندی مخلوط، روند خروج آب توسعه دستگاه در هنگام اعمال فشار و مکش تسریع شده و در نتیجه نسبت آب به سیمان نهایی کاهش و عیار سیمان ثانویه در جدول‌ها افزایش یافته است که این مهم را می‌توان به سهولت عبور آب و کوتاه شدن مسیر عبور آب اضافی در بتون جهت خروج از بین سنگدانه‌های مرتبط دانست.<sup>[۷]</sup> در مطالعه‌ی دیگری در همان سال، تأثیر نسبت آب به سیمان اولیه و عیار سیمان در مقاومت فشاری و جذب آب کل در جدول‌های بتونی پرسی تر بررسی شده و نتایج حاکی از آن بوده است که در یک نسبت اولیه‌ی آب به سیمان ثابت، افزایش عیار سیمان ابتدا منجر به افزایش جذب آب کل شده و سپس در حدی متوقف باقی مانده است. این در حالی است که افزایش عیار سیمان اولیه در برخی از نسبت‌های آب به سیمان، منجر به افزایش مقاومت فشاری و در برخی سبب کاهش مقاومت فشاری می‌شود.<sup>[۸]</sup> در سال ۲۰۰۹، به منظور بررسی اثر استفاده از ضایعات در جدول‌های بتونی پرسی خشک و بلوک‌های سقفی، از ضایعات شامل ضایعات بتون و ضایعات مصالح بنایی تولید شده در کارخانه‌ی آجرهای رسی در ساخت جدول‌های مذکور استفاده و نشان داده شده است که با افزایش درصد جایگزینی، میزان جذب آب کل نیز افزایش یافته و در درصدهای بالای ۵۰٪ بسیار مشهود و برای هر دو نوع ماده‌ی ضایعاتی نزدیک به هم بوده است.<sup>[۹]</sup>

افزودن روباره‌ی مس به عنوان جایگزین مصالح بتون توسط پژوهشگران مختلفی بررسی شده است. در همین راستا در سال ۱۳۱۲، استفاده از روباره‌ی مس به عنوان ریزدانه در بتون با عملکرد بالا بررسی شده و نتایج به دست آمده نشان داده است که استفاده از ماده‌ی مذکور، تأثیر چندانی در چگالی بتون با عملکرد بالا نداشته

برطرف می‌کند، یک راه حل کاملاً کاربردی و عملی برای حل مشکل دفع ماده‌ی ضایعاتی مذکور است و با توجه به اینکه خود یک ماده‌ی مضاعف ضایعاتی است، هزینه‌ی تولید ندارد و سبب کاهش قیمت تمام شده‌ی جدول‌ها نیز می‌شود. با وجود این، هدف از انجام پژوهش حاضر، پاسخ به این پرسش است که چگونه استفاده از روباره‌ی مس ضایعاتی به عنوان ماده‌ی جایگزین ماسه‌ی  $3\text{-}5$  در خواص مکانیکی جدول‌های پیش ساخته‌ی پتی تولیدشده با فناوری پرسی تر تأثیر می‌گذارد و آیا می‌توان از این طریق علاوه بر کاهش قیمت تمام شده، از یک معطل زیست محیطی جلوگیری کرد.

مس به عنوان ریزدانه نشان داده شده است که عدم استفاده از فوق روان‌کننده به دلیل خشکی مخلوط و جداشده‌ی دانه‌بندی در آنها، منجر به کاهش شدید مقاومت و افزایش جذب آب می‌شود. با این حال در یک کارایی مشخص، استفاده از روباره‌ی مس، خواص مکانیکی و دوام بتن با مقاومت بالا را بهبود بخشیده است.<sup>[۱۱]</sup>

همچنین به منظور دست‌یابی به میزان بهینه‌ی روباره‌ی مس به عنوان ریزدانه در بتن مقاومت بالا در مطالعه‌ی در سال ۲۰۱۰ نشان داده شده است که سطح صاف و شیشه‌ی روباره‌ی مس، کارایی بتن، تراکم‌پذیری و رفتار دینامیکی بتن را بهبود بخشیده و میزان جذب آب بتن را کاهش داده است. با این حال، آب اضافی، ریزبودن و وجود ترکیبات اکسید آهن سبب کاهش مقاومت شبه استاتیکی، مقاومت خمشی و مقاومت کششی دو نیم‌شدگی شده است. نتایج حاکی از آن بوده است که جایگزینی  $40\%$  از ریزدانه معمولی با روباره‌ی مس، سبب ثابت‌ماندن مشخصات بتن خواهد شد.<sup>[۱۲]</sup> در پژوهش دیگری در همان سال نشان داده شده است که استفاده از  $20\%$  روباره‌ی مس به دلیل خواص مکانیکی و فیزیکی روباره‌ی مس، سبب افزایش مقاومت فشاری بتن شده است. با افزایش درصد جایگزینی روباره‌ی مس تا  $40\%$ ، مقاومت فشاری و دینامیکی نمونه‌ها بسیار نزدیک با مقاومت نمونه شاهد بوده و پس از آن روند کاهشی داشته است.<sup>[۱۳]</sup> بررسی خواص دوام بتن های که در آنها روباره‌ی مس کاملاً با مصالح ریزدانه جایگزین شده بود، نشان داده است که در بتن حاوی روباره‌ی مس، برای رسیدن به درصد هوای مشخص ( $4/5\%$ ) در مقایسه با نمونه‌های حاوی سنگدانه‌های طبیعی به میزان کمتری از ماده‌ی افزودنی حباب‌زا نیاز است. علاوه بر این، زمان گیرش بتن حاوی روباره‌ی مس بیشتر از بتن شاهد و مقاومت فشاری نمونه‌های حاوی روباره‌ی مس در سینی بالاتر، برابر با بتن شاهد و در مواردی نیز بیشتر از آن بوده است. همچنین در برابر سیکل‌های ذوب و یخ‌بندان، بتن‌های حاوی روباره‌ی مس مقاومت بسیار بیشتری از خود نشان داده‌اند.<sup>[۱۴]</sup>

مطالعات انجام‌شده‌ی در سال ۲۰۰۰ نشان داده است که روند کسب مقاومت در بتن‌های حاوی روباره‌ی مس همانند بتن معمولی بوده و مقاومت فشاری نهایی در درصد های جایگزینی زیر  $80\%$ ، تفاوت چندانی با نمونه شاهد داشته است.<sup>[۱۵]</sup> علاوه بر موارد ذکر شده، برخی از پژوهشگران از روباره‌ی مس به عنوان جایگزین بخشی از سیمان مصرفی استفاده و اثر آن را در مشخصات بتن بررسی کرده‌اند. آنچه در پژوهش حاضر بررسی شده است، بررسی اثر استفاده از روباره‌ی مس ضایعاتی صنعت ماسه‌پاشی به جای ذرات ریزدانه ماسه‌ی  $3\text{-}5$  (ماسه با ذرات کمتر از  $3$  میلی‌متر) در طرح مخلوط جدول‌های پیش ساخته‌ی بتنی است. یکی از مشکلاتی که کارخانه‌های تولیدکننده‌ی جدول‌های بتنی با آن روبه‌رو هستند، تأمین دامنه‌ی ذکر شده‌ی ذرات ماسه است. ریزبودن این سنگدانه‌ها، فرایند تولید آن را مقاومت و سختی از ماسه معمولی  $6\text{-}8$  می‌کند. از آنجایی که ماسه‌ی  $6\text{-}8$  غالباً برای تولید قطعات بتنی بکار می‌رود، نسبت به ماسه‌ی  $3\text{-}5$ ، تقاضای کتری دارد و این امر موجب شده است تا تمايل صاحبان معدن سنگدانه‌ها نسبت به تولید آن کمتر شود و در نتیجه قیمت تمام شده‌ی آن نیز افزایش یابد. از سوی دیگر، این سنگدانه مستقیماً از طبیعت برداشت می‌شوند و در بلندمدت می‌تواند منجر به آسیب رساندن به محیط زیست شود و با اصول توسعه‌ی پایدار مغایرت خواهد داشت. با توجه به اینکه روباره‌ی مس، یک ماده‌ی ضایعاتی است که پس از فرایند ماسه‌پاشی، قابلیت استفاده‌ی مجدد در صنعت را ندارد و هیچ اقدام عملی تاکنون برای دفع آن صورت نگرفته است و همچنین اندازه‌ی آن در محدوده ماسه‌ی  $3\text{-}5$  است، می‌تواند به عنوان جایگزین مناسبی برای این ماسه‌ی  $3\text{-}5$  مطرح شود. استفاده از روباره‌ی مس ضایعاتی علاوه بر اینکه مشکل تهیه‌ی ماسه‌ی  $3\text{-}5$  را برای تولید جدول‌های بتنی

## ۲. برنامه‌ی آزمایشگاهی

### ۱.۲. مصالح مصرفی

سیمان مورد استفاده از نوع  $4\text{-}425$  و محصول کارخانه‌ی سیمان سپاهان بوده است. آنالیز شیمیایی سیمان مصرفی در جدول ۱ و آنالیز فیزیکی و مکانیکی آن در جدول ۲ ارائه شده است. سنگدانه‌های مصرفی (ریزدانه و درشت‌دانه) همگی از معادن هشتگرد تهیه و براساس استاندارد ملی ایران ISIRI-۱۱۲۶۷ نمونه‌برداری شده‌اند. مشخصات فیزیکی سنگدانه‌های مصرفی در جدول ۳ در دسترس است.

شکل ۴، نمودار دانه‌بندی مخلوط شن و ماسه را در جدول‌های بتنی نشان می‌دهد. دانه‌بندی موردنظر با استفاده از توصیه‌های طرح ملی مخلوط و تجربیات گذشته و قابلیت‌های موجود درستگاه براساس منحنی فولر- تامسون اصلاح و با درنظر گرفتن توان  $0,35$  استفاده شده است. روباره‌ی مس استفاده شده در پژوهش حاضر از یکی از کارخانه‌های ماسه‌پاشی واقع در شهرک صنعتی اشتهراد تهیه شده است. با توجه به اینکه در پژوهش حاضر از روباره‌ی مس ضایعاتی پس از فرایند ماسه‌پاشی استفاده شده است، لازم بوده است که برخی از یونگی‌های روباره‌ی مس قبل و بعد از فرایند ماسه‌پاشی مقایسه شوند. با توجه به مشخصات فنی ارائه شده توسط شرکت تولیدکننده‌ی روباره‌ی مس، میزان سختی ذرات، هفت موس و چگالی انبوهی آن  $1750$  کیلوگرم بر مترمکعب بوده است. این در حالی است که چگالی انبوهی پس از ماسه‌پاشی به دلیل ریزتر شدن ناشی از برخورد،  $2200$  کیلوگرم بر

جدول ۱. آنالیز شیمیایی سیمان.

	SiO <sub>2</sub>	Al <sub>2</sub> O <sub>3</sub>	Fe <sub>2</sub> O <sub>3</sub>	CaO	MgO	ماده
درصد	۲۰,۵۶	۴,۸۹	۳,۹۶	۶۲,۱۶	۳,۱۴	
ماده	SO <sub>۲</sub>	N <sub>۲</sub> O	K <sub>۲</sub> O	LOI	IR	
درصد	۱,۷۹	۰,۳۶	۰,۷۷	۱,۸۲	۰,۴۲	
مجموع	$\%99,13$					

جدول ۲. آنالیز فیزیکی و مکانیکی سیمان.

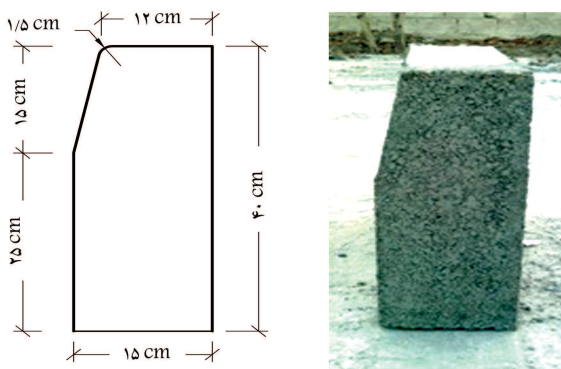
بدلین	بدلین
گیرش اولیه $154$ دقیقه	گیرش اولیه
گیرش نهایی $221$ دقیقه	گیرش نهایی
مقاومت فشاری سه روزه $214 \text{ kq/cm}^2$	مقاومت فشاری سه روزه
مقاومت فشاری هفت روزه $357 \text{ kq/cm}^2$	مقاومت فشاری هفت روزه
مقاومت فشاری $517 \text{ kq/cm}^2$ روزه $^{0,14}$	مقاومت فشاری $28$ روزه انبساط اتوکلرو (%)

جدول ۳. مشخصات فیزیکی سنگدانه.

نوع سنگدانه	مدول نرمی [۱۷] [۱۹,۱۸] (gr/cm <sup>3</sup> )	چگالی دانه‌های جامد	درصد جذب آب [۱۹,۱۸]	درصد خاک [۲۰]	قبل از ماسه‌پاشی
ریزدانه (۳°)	۲,۵۷	۲,۵۵	۳,۷	۶,۱	
ریزدانه (۶°)	۳,۳	۲,۵۹	۳,۳	۲,۷	
درشت دانه (۴-۸)	-	۲,۵۹	۲,۷	۰,۶	
درشت دانه (۴-۱۲)	-	۲,۶۰	۲,۱	۰,۲	

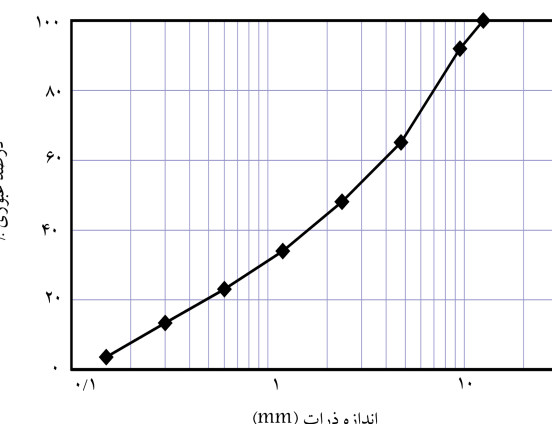
جدول ۴. ترکیبات شیمیایی روبارهی مس قبل و بعد از ماسه‌پاشی.

نام ماده	قبل از ماسه‌پاشی		بعد از ماسه‌پاشی	
	درصد ترکیبات	نام ماده	درصد ترکیبات	نام ماده
Fe <sub>2</sub> O <sub>3</sub>	۵۴,۵۰	Fe <sub>2</sub> O <sub>3</sub>	۵۴,۲۰	
SiO <sub>2</sub>	۳۳,۰۰	SiO <sub>2</sub>	۳۳,۵۰	
Al <sub>2</sub> O <sub>3</sub>	۲,۴۹	Al <sub>2</sub> O <sub>3</sub>	۲,۵۹	
S	۱,۸۱	S	۱,۷۱	
K <sub>2</sub> O	۱,۴۲	K <sub>2</sub> O	۱,۴۱	
MgO	۱,۳۷	MgO	۱,۲۸	
ZnO	۱,۰۷	ZnO	۱,۰۷	
CaO	۰,۹۴	CaO	۱,۰۶	
Na <sub>2</sub> O	۰,۸۲	Na <sub>2</sub> O	۰,۸۲	
CuO	۰,۷۵	CuO	۰,۷۶	
MoO <sub>3</sub>	۰,۴۹	MoO <sub>3</sub>	۰,۵۱	
Sb <sub>2</sub> O <sub>3</sub>	۰,۴۲	Sb <sub>2</sub> O <sub>3</sub>	۰,۲۱	
P <sub>2</sub> O <sub>5</sub>	۰,۲۱	P <sub>2</sub> O <sub>5</sub>	۰,۱۱	
TiO <sub>2</sub>	۰,۱۶	LOI	-۶,۵۵	
BaO	۰,۱۰			
LOI	-۶,۶۰			

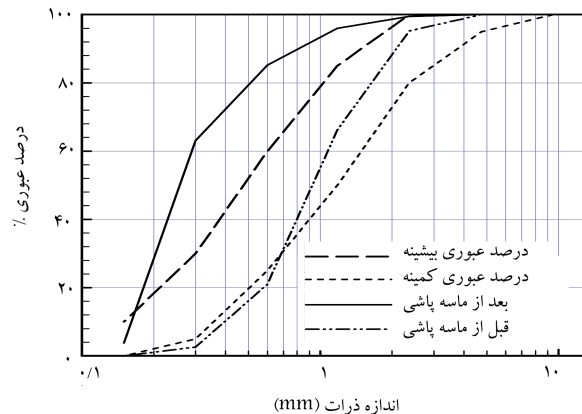


شکل ۶. سطح مقطع جدول تولید شده.

گرفته شده با الهام گرفتن از طرح های اختلاط رایج جدول های بتی در کارخانه‌ی کلیه‌ی نمونه‌ها در یکی از کارخانه‌های تولید بتون و قطعات بتونی استان البرز با دستگاه تمام اتوماتیک ساخت جدول های بتونی با فناوری پرسی ترتیبی شده‌اند. تعداد نمونه‌ها برای هر آزمایش مطابق با استاندارد انتخاب شده است. به دلیل کاربرد فراوان از نمونه‌های جدولی با ابعاد معین  $15 \times 40 \times 50$  سانتی‌متر استفاده شده است. شکل ۶، نمونه‌یی از جدول های مورد استفاده را نشان می‌دهد. طرح اختلاط در نظر



شکل ۴. نمودار دانه‌بندی مخلوط شن و ماسه در جدول‌های تولید شده.



شکل ۵. دانه‌بندی روبارهی مس قبل و بعد از ماسه‌پاشی.

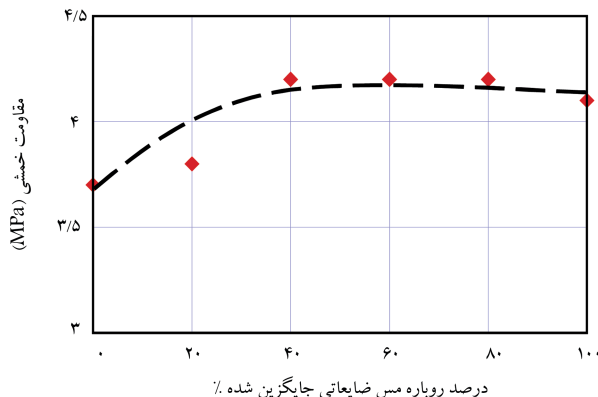
متوجه شده است. براساس نتایج بدست آمده از آزمایش XRF، ترکیبات شیمیایی روبارهی مس قبل و بعد از فرایند ماسه‌پاشی تغییر چندانی نکرده است (جدول ۴). در شکل ۵، دانه‌بندی روبارهی مس قبل و بعد از فرایند ماسه‌پاشی نشان داده شده است. مطابق شکل مذکور و مطابق انتظار، دانه‌بندی روبارهی مس پس از فرایند ماسه‌پاشی بسیار ریزتر شده است.

## ۲. ساخت و عمل آوری

کلیه‌ی نمونه‌ها در یکی از کارخانه‌های تولید بتون و قطعات بتونی استان البرز با دستگاه تمام اتوماتیک ساخت جدول های بتونی با فناوری پرسی ترتیبی شده‌اند. تعداد نمونه‌ها برای هر آزمایش مطابق با استاندارد انتخاب شده است. به دلیل کاربرد فراوان از نمونه‌های جدولی با ابعاد معین  $15 \times 40 \times 50$  سانتی‌متر استفاده شده است.



شکل ۷. نمونه‌ی جدول تحت آزمایش مقاومت خمشی.



شکل ۸. میانگین نتایج مقاومت خمشی جدول‌های بتني.

در شکل ۸ نشان داده شده است. همان‌طور که در شکل مذکور مشخص است، با افزایش درصد روباره مس ضایعاتی جایگزین شده مقاومت خمشی با شیب ملامی افزایش می‌یابد و بعد از آن تقریباً ثابت می‌ماند. علت این افزایش را می‌توان به ریزدانه بودن روباره مس ضایعاتی که همانند یک پرکننده منافذ را اشغال کرده است، نسبت داد. روند ذکر شده در پژوهش‌های پیشین نیز مشاهده شده است.<sup>[۱۳]</sup> براساس استاندارد ISIRI-۱۲۷۲۸، رده‌ی مقاومتی جدول‌ها، رده‌ی یک است. لذا تمامی نمونه‌ها، دست‌کم مقاومت خمشی رده‌ی یک را ارضا می‌کنند.

### ۲.۳. مقاومت فشاری

برای انجام آزمایش مقاومت فشاری، پس از اتمام عمل آوری و با درنظر گرفتن اینکه طول هر جدول حدود ۵۰ سانتی‌متر و ضخامت آن ۱۵ سانتی‌متر است، با استفاده از دستگاه برش قسمت پن بالانی جدول‌ها بریده شده و سپس از مکعب باقی‌مانده، سه عدد نمونه‌ی ۱۵ سانتی‌متری (از هر طرح مخلوط) تهیه شده است. لازم به ذکر است که قبل از انجام آزمایش، سطح نمونه‌ها با دستگاه ساب کامل‌آصف و تراش شده است. پس از آن نمونه‌ها با سرعت ۰/۴ MPa/s توسط جک تحت آزمایش قرار گرفته‌اند. در استاندارد تأکید شده است که مقاومت خمشی هیچ‌یک از نمونه‌ها نباید کمتر از ۲/۸ مگاپاسکال باشد. برای انجام مقاومت خمشی، پس از خشک شدن سطوح ظاهری، جدول‌ها مطابق شکل ۷ توسط جک تحت آزمایش قرار گرفته‌اند. پس از انجام آزمایش، مقاومت خمشی جدول‌ها با استفاده از رابطه‌ی ۱ محاسبه شده است:

جدول ۵. طرح مخلوط جدول‌های تولید شده (کیلوگرم بر مترمکعب).

درصد جایگزینی روباره مس با ریزدانه‌ی  
۰-۳ مصالح

سیمان	آب	روباره مس	درشت دانه (۴-۸)	درشت دانه (۴-۱۲)	ریزدانه (۰-۶)	ریزدانه (۰-۳)
۳۷۰	۳۷۰	۳۷۰	۳۷۰	۳۷۰	۳۷۰	۳۷۰
۲۲۲	۲۲۲	۲۲۲	۲۲۲	۲۲۲	۲۲۲	۲۲۲
۱۷۰	۱۳۶	۱۰۲	۶۸	۳۴	۰	۰
۱۷۰	۱۷۰	۱۷۰	۱۷۰	۱۷۰	۱۷۰	۱۷۰
۴۰۵	۴۰۵	۴۰۵	۴۰۵	۴۰۵	۴۰۵	۴۰۵
۹۳۰	۹۳۰	۹۳۰	۹۳۰	۹۳۰	۹۳۰	۹۳۰
۰	۳۴	۶۸	۱۰۲	۱۳۶	۱۷۰	۱۷۰

ریخته شدن بتن در قالب، عمل فشرده‌سازی با فشار ۱۲۲ کیلوگرم بر سانتی‌مترمربع صورت می‌پذیرد، بدینهی است که نسبت آب به سیمان نهایی نیز کاهش می‌یابد که با استفاده از روش وزنی،<sup>[۲۰]</sup> نسبت آب به سیمان نهایی برای نمونه‌ی شاهد ۰/۳ و عیار سیمان جدول پس از تراکم، ۴۲۴ کیلوگرم بر مترمکعب برآورد شده است. پس از ساخت نمونه‌ها و بعد از گذشت یک روز از زمان تولید، نمونه‌ها به مدت ۲۸ روز در داخل آب با دمای  $C \pm 22^{\circ}$  قرار گرفته‌اند.

### ۳. آزمایش‌ها و نتایج

برای بررسی خواص مکانیکی جدول‌های بتني تولید شده با درصد‌های مختلف جایگزینی روباره مس ضایعاتی لازم است که مطابق با استاندارد ملی ایران ISIRI-۱۲۷۲۸ آزمایش‌هایی انجام شود. از این رو آزمایش‌های مقاومت خمشی، مقاومت فشاری، سرعت امواج صوت و مقاومت سایشی نمونه‌ها در نظر گرفته شده است. در هیچ‌یک از نمونه‌ها عوارض ترک، لایه‌لایه شدن و پوسیدگی مشاهده نشده و از نظر شکل ظاهری و ابعاد هندسی، تمامی الزامات استاندارد ملی ایران تأمین شده است.

#### ۱.۳. آزمایش مقاومت خمشی

از آنجا که انجام آزمایش کشش مستقیم دشوار است، آزمایش مقاومت خمشی می‌تواند تا حدودی جایگزین مناسبی برای آن باشد و به طور غیرمستقیم برآورد مناسبی از مقاومت کششی نمونه‌ها ارائه دهد. جهت انجام آزمایش مقاومت خمشی به ازاء هر طرح مخلوط، ۸ عدد جدول تحت آزمایش قرار گرفته‌اند. در استاندارد مذکور تأکید شده است که مقاومت خمشی هیچ‌یک از نمونه‌ها نباید کمتر از ۲/۸ مگاپاسکال باشد. برای انجام مقاومت خمشی، پس از خشک شدن سطوح ظاهری، جدول‌ها مطابق شکل ۷ توسط جک تحت آزمایش قرار گرفته‌اند. پس از انجام آزمایش، مقاومت خمشی جدول‌ها با استفاده از رابطه‌ی ۱ محاسبه شده است:

$$T = \frac{P L Y}{4 I} \quad (1)$$

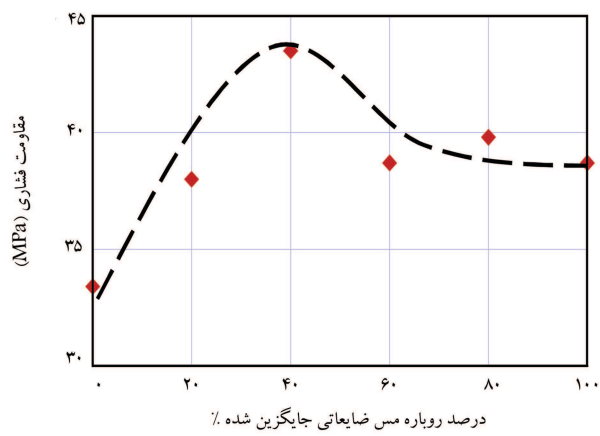
که در آن:  $T$  مقاومت خمشی بر حسب مگاپاسکال؛  $P$  نیروی گسیختگی بر حسب نیوتون؛  $Y$  فاصله‌ی مرکز سطح تا آخرین تارکششی بر حسب میلی‌متر؛  $L$  فاصله‌ی دهانه بر حسب میلی‌متر؛  $I$  گشتاور دوم مقطع در صفحه‌ی شکست است. با توجه به اینکه نتایج به دست آمده انحراف معیار کمی داشته است، از روش میانگین‌گیری استفاده شده است. میانگین مقاومت خمشی به دست آمده از نمونه‌ها

جدول ۶. میانگین میزان سایش جدول‌های بتني.

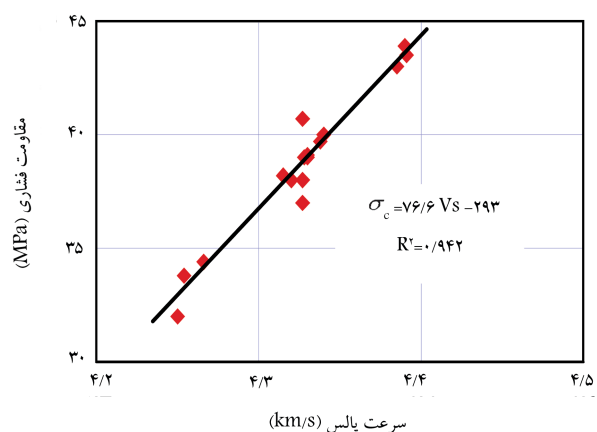
درصد جایگزینی روباره‌ی مس ضایعاتی (%) (میلی‌متر)	میانگین سایش
۱۱/۲	۰
۱۱/۲	۲۰
۱۲/۰	۴۰
۱۲/۰	۶۰
۱۲/۳	۸۰
۱۲/۵	۱۰۰

#### ۴.۳. آزمایش مقاومت سایشی

به منظور انجام این آزمایش براساس استاندارد ملی از روش چرخ پهن استفاده شده است، که مطابق آن میزان سایش نمونه باید از ۲۵ میلی‌متر بیشتر باشد. همان‌گونه که در بخش پیش بیان شده است، با استفاده از دستگاه برش از هر جدول (برای هر طرح مخلوط) سه عدد نمونه‌ی ۱۵ سانتی‌متری تهیه شده است. نتایج آزمایش در جدول ۶ ارائه شده است که مطابق آن با جایگزین کردن روباره‌ی مس ضایعاتی با ریزدانه، مقاومت سایشی نمونه‌ها به میزان بسیار ناچیزی کاهش یافته است. با این حال در همه‌ی درصد‌های جایگزینی، میزان سایش در محدوده‌ی موردنظر استاندارد قرار دارد.



شکل ۹. میانگین نتایج مقاومت فشاری جدول‌های بتني.



شکل ۱۰. مقایسه‌ی نتایج آزمایش غیرمخرب سرعت امواج مافوق صوت و آزمایش مخرب مقاومت فشاری.

۵.۳. تحلیل نتایج آزمایشگاهی

با مروری بر پژوهش‌های پیشین مشاهده می‌شود که رابطه‌ی مستقیم میان حباب‌های ایجاد شده در بتن و درصد روباره‌ی مس استفاده شده در بتن وجود دارد. [۱۲-۱۳] بنابراین می‌توان بیان کرد که پس از استفاده از روباره‌ی مس، ابتدا در بتن تاره حباب‌های بزرگ هوا تشکیل شده و پس از فشار پرس بسیار زیاد، مقداری از آنها از بتن خارج و حباب‌های باقی‌مانده به حباب‌های ریزو با فاصله‌ی کم تبدیل شده‌اند. با توجه به نتایج آزمایش‌های مقاومت خمشی و مقاومت فشاری، با افزایش درصد جایگزینی روباره‌ی مس تا حدی مقاومت افزایش یافته و پس از آن تقریباً ثابت و یا انگشتی کاهش یافته است. از آنجایی که در طرح مخلوط مورد استفاده، ریزدانه‌ی ۳-۰، حدود ۱۰٪ وزنی بتن را شامل بوده است، با جایگزینی روباره‌ی مس تا ۳۰٪، میزان حباب‌های باقی‌مانده پس از پرس ناچیز بوده است و با توجه به ریزدانه‌تر بودن ماده‌ی ضایعاتی مذکور نسبت به ریزدانه‌ی ۳-۰، به دلیل خاصیت پرکنندگی و خواص فیزیکی همچون چگال‌تر بودن، تا حدی می‌تواند سبب افزایش مقاومت خمشی و فشاری شود. احتمال می‌رود که اگر در طرح مخلوط، میزان بیشتری ریزدانه‌ی ۳-۰ استفاده شود، میزان کاهش مقاومت خمشی و فشاری در درصد‌های بالاتر چشمگیرتر شود. این امر در برخی پژوهش‌های پیشین، [۱۲-۱۳] نیز تأیید شده است. همچنین احتمال می‌رود به دلیل وجود آهن زیاد با اضافه کردن روباره‌ی مس، حرارت هیدرالسیون که یکی از عوامل نشان دهنده‌ی شکل‌گیری فرایند هیدراته شدن سیمان است، نسبت به نمونه‌ی شاهد کاهش یابد، که این مورد در نوشتاری در سال ۲۰۰۸، نیز به تأیید رسیده است. [۲۱]

تفیرات ناچیز در نتایج آزمایش مقاومت سایشی نشان می‌دهد که به دلیل حباب‌های هوای باقی‌مانده در بتن وجود اندک حفره‌ها، مقاومت در برابر سایش اندکی کاهش یافته است. با توجه به درصد کم حباب‌های هوای ایجاد شده، میزان کاهش قابل توجه نبوده است. البته نباید از کمتر بودن سختی روباره‌ی مس نسبت به

۳.۳. آزمایش سرعت امواج مافوق صوت

از آنجا که مقاومت فشاری، یکی از پارامترهای مهم ارزیابی جدول‌های بتن است، با توجه به مخرب بودن آزمایش مذکور و همچنین تعداد زیاد جدول‌های تولیدی در کارخانه‌ها، در صورتی که بتوان این مشخصه را با تقریب مناسب و در کمترین زمان ممکن برآورده کرد، فرایند کنترل کیفیت سریع‌تر انجام خواهد شد. بدین منظور استفاده از روش‌های غیرمخرب توصیه می‌شود که یکی از آنها، آزمایش سرعت امواج مافوق صوت است. برای انجام آزمایش مطابق آنچه در بخش پیش ذکر شده است، سه عدد نمونه‌ی ۱۵ سانتی‌متری (از هر طرح مخلوط) تهیه و آزمایش مذکور با استفاده از دستگاهی با بسامد ۴۵ کیلوهertz انجام شده است. رابطه‌ی بین سرعت امواج مافوق صوت و مقاومت فشاری این نوع از جدول‌های بتن در شکل ۱۰ نشان داده است. نتایج به دست آمده نشان می‌دهد که بین سرعت امواج مافوق صوت و مقاومت فشاری، رابطه‌ی خطی مناسبی با ضریب همبستگی بسیار بالا وجود دارد. با توجه به غیرمخرب بودن آزمایش سرعت امواج مافوق صوت و همچنین ساده‌تر بودن آن نسبت به آزمایش مقاومت فشاری، انتظار می‌رود با انجام آزمایش‌های بیشتر و درنظر گرفتن شرایط مختلف، رابطه‌ی که از آزمایش سرعت امواج مافوق صوت به دست می‌آید، جایگزین آزمایش مقاومت فشاری شود.

اسٹ:

- نتایج آزمایش مقاومت خمثی جدول ها نشان می دهد که با جایگزینی روبارهی مس در طرح اختلاط بت، مقاومت خمثی آن نسبت به نمونهی شاهد اندکی افزایش یافته است. بینایین روبارهی مس ضایعاتی می تواند بدون داشتن تأثیر منفی در مقاومت خمثی، تا ۱۰٪ جایگزین ماسه‌ی ۳۰ شود.
  - جایگزینی روبارهی مس ضایعاتی با ماسه‌ی ۳۰، نه فقط تأثیر منفی در مقاومت فشاری نداشته است، بلکه تا حدودی مقاومت فشاری را نیز افزایش داده است. بیشترین افزایش در جایگزینی ۴۰٪ حاصل می شود که نسبت به نمونهی شاهد افزایش ۳۰ درصدی را نشان می دهد.
  - یک رابطه‌ی خطی با ضریب همبستگی مناسب میان نتایج آزمایش مقاومت فشاری و آزمایش سرعت امواج موفق صوت مشاهده می شود.
  - مقاومت سایشی نمونه‌ها با افزایش درصد جایگزینی روبارهی مس، با اندکی کاهش مواجه است. البته این کاهش قابل ملاحظه نیست و میزان سایش از نظر استاندارد ISIRI-۱۲۲۲۸ مورد قبول است.

ریزدانه‌ی ۳-۰ که از نوع سیلیسی است، چشم پوشی کرد. بنابراین می‌توان پیش‌بینی کرد که با افزایش میزان استفاده از روباره‌ی مس در طرح اختلاط، مقاومت سایشی نمونه‌ها نیز کاهش یابد. بر واضح است که توصیف دقیقی ترا این نتایج نیازمند انجام آزمایش‌های دیگری مانند SEM و XRD است، که در حال انجام بوده و در بخش دیگری نتایج آن بحث شده است.

لازم به ذکر است که با توجه به نتایج آزمایش‌های سنجش مشخصات مکانیکی جدول‌ها مطابق با استاندارد ملی ایران و همچنین سایر پژوهش‌های انجام شده‌ی پیشین، تا حد قابل قبولی می‌توان دوام مناسب قطعات ذکر شده را در مقابل عوامل محیطی پیش‌بینی کرد. نتایج حاصل از آزمایش‌های انجام شده نشان می‌دهند که اضافه کردن روباهه مس ضایعاتی، نه فقط مشکل تأمین ماسه<sup>۳</sup> را در تولید جدول‌ها حل می‌کند و از هزینه‌های زیاد تولید آن می‌کاهد و معضل آبودگی محیط زیستی آن را منتفع می‌سازد، بلکه می‌تواند مشخصات مکانیکی آن را در حد مطلوبی حفظ کند.

۴. نتیجہ گیری

روبارهی مس یکی از پس ماندهای حاصل از فرآیند تولید مس است که با توجه به حجم زیاد تولید آن در ایران، عمدهاً در صنایع ماسه‌پاشی استفاده می‌شود. از آنجا که پس از چند بار استفاده در فرآیند ماسه‌پاشی، خاصیت ساینده‌گی خود را از دست می‌دهد، در طبیعت بلااستفاده رها می‌شوند و سبب ایجاد مشکلات زیست محیطی خواهد شد. با توجه به اینکه اندازه‌ی ذرات روبرهی مس پس از فرآیند ماسه‌پاشی در محدوده‌ی اندازه‌ی ریزدانه‌ی  $3 - 5$  است، می‌تواند به عنوان جایگزین مصالح مذکور استفاده شود. ماسه‌ی ریزدانه‌ی  $3 - 5$  به دلیل پیچیدگی فرآیند تولید آن نسبت به ماسه‌ی معمولی، به راحتی در دسترس نیست و در نتیجه هزینه‌ی تولید آن بیشتر است. در پژوهش حاضر، تأثیر جایگزین کردن مواد ضایعاتی ذکر شده در رفتار مکانیکی جدول‌ها بررسی شده است. یافته‌های مطالعه‌ی حاضر به این شرح

رازه شت

## منابع (References)

1. Brito, J. and Saikia, N. "Recycled aggregate in concrete use of industrial", Construction and Demolition Waste, Springer, London (2013).
  2. Murari, K., Siddique, R. and Jain, K.K. "Use of waste copper slag, a sustainable material", *J. Mater. Cycles. Waste Manag.*, **17**(1), pp. 13-26 (2014).
  3. Al-Jabri, S., Hisada, K., Makoto K., Al-Oraimi, alem, H. and Al-Saidy, A. "Copper slag as sand replacement for high performance concrete", *Cement&Concrete Composites*, **31**(7), pp. 483-488 (2009).

4. Najimi, M., Sobhani, J. and Pourkhorshidi, A.R. "Durability of copper slag contained concrete exposed to sulfate attack", *Construction and Building Materials*, **25**(4), pp. 1895-1905 (2011).
  5. Lilley, A. "Precast concrete paving, history, design, applications and problems", *The Journal of the Institution of Highways and Transportation*, **35**(7), pp. 18-25 (1989).
  6. Aghdam, S.R.H., Tadayon, M., Rezaei, F. and Nofal-lah, M. "The effect of limestone powder on final water to cement ratio, compressive strength and total water absorption in wet pressed concrete kerb", *5th National Conference on Concrete*, Tehran (2013).
  7. Tadayon, M., Rezaei, F., Aghdam, S.R.H. and Kalkho-ran J.M. "The effect of initial water to cement ratio and primary cement content on compressive strength and total water absorption in wet pressed concrete kerb", *National Conference on Civil Engineering and Sustainable Development*, Mashhad (2012).

8. Kalkhoran J.M., Tadayon, M., Rezaei, F. and Hosseini, R. "The effect of grading and maximum aggregate size on water to cement ratio and cement amount in wet pressed concrete kerb", *National Conference on Civil Engineering and Sustainable Development*, Mashhad (2012).
9. Lopez Gaurre, F., Lopez-colina, C., Serrano, M.A. and Lopez-Martinez, A. "Manufacture of concrete kerbs and floor blocks with recycled aggregate from C&DW", *Construction and Building Materials*, **40**, pp. 1193-1199 (2013).
10. Khanzadi, M. and Behnood, A. "Mechanical properties of high-strength concrete incorporating copper slag as coarse aggregate", *Construction and Building Materials*, **23**(6), pp. 2183-2188 (2009).
11. Al-Jabri, S., Hisada, K., Makoto, H., Al-Saidy, A. and Al-Oraimi, S.K. "Performance of high strength concrete made with copper slag as a fine aggregate", *Construction and Building Materials*, **23**(6), pp. 2132-2140 (2009).
12. Wu, W., Zhang, W. and Guowei, M. "Optimum content of copper slag as a fine aggregate in high strength concrete", *Materials and Design*, **31**(6), pp. 2878-2883 (2010).
13. Wu, W., Zhang, W. and Guowei, M. "Mechanical properties of copper slag reinforced concrete under dynamic compression", *Construction and Building Materials*, **24**(6), pp. 910-917 (2010).
14. Ayano, T. and Sakata, K. "Durability of concrete with copper slag fine aggregate", *Fifth CANMET/ACI International Conference on Durability of Concrete* (2000).
15. Hwang, C.L. and Laiw, J.C. "Properties of concrete using copper slag as a substitute for fine aggregate", *The 3rd International Conference on Fly Ash, Silica Fume, Slag, and Natural Pozzolans in Concrete* (1989).
16. Institute of standards and industrial research of Iran, "Aggregate -sampling aggregates-code of practice", ISIRI No. 11267, 1st. Edition (2015).
17. Institute of standards and industrial research of Iran, "Standard method for sieve analysis of fine and coarse aggregates", ISIRI No. 4977 (2014).
18. Institute of standards and industrial research of Iran, "Standard test method for specific gravity and absorption of coarse aggregate", ISIRI No. 4982 (2011).
19. Institute of standards and industrial research of Iran, "Standard test method for specific gravity and absorption of fine aggregate", ISIRI No. 4980 (2011).
20. Institute of Standards and Industrial Research of Iran, "Standard test method for material finer than 75  $\mu$  sieve in mineral aggregate", ISIRI No. 446, 1st revision (2014).
21. Institute of standards and industrial research of Iran, "Concrete kerb units-specifications and test methods", ISIRI No. 12728, 1st Edition (2013).
22. Rojas, M., Rivera, J., Rivera, M. and Marin, F. "Use of recycled copper slag for blended cements", *J. Chem. Technol. Biotechnol.*, **83**(3), pp. 209-217 (2008).